

# B样条曲面在防毒面具中的应用

赖长法 陈亚年

(精密机械工程系)

**摘要** 本文选用双三次均匀基B样条曲面为数学模型,着重讨论了B样条曲面在不同边界条件下顶点反算和曲面拼合问题.根据所推导的算法特点对面具口罩芯模和矿用面罩密合框进行划分,采样型值点,构造出其定量化模型,在计算机屏幕上显示其三维图形(透视图),取得较满意的效果.

**关键词** CAD, 防毒面具, B样条曲面, 造型设计

## 0 前言

面具是现代武器装备的重要组成部分,也是现代工业的重要个体防护设施,它在部队、煤矿、消防等部门的应用越来越广泛.但由于面具结构复杂,工艺要求严,面具性能受诸多因素的影响又难以定量化描述,致使面具的研制水平全凭经验和尝试,缺少理论依据,返工多,工作量大,模具制造困难.新型面具设计只好用旧的面具脱模描绘.因此,不能在以往的基础上总结、继承、发展和提高.采用CAD技术克服了面具难于精确的定量描述和数据存储的难题,除可获得最佳密合效果外,在模具制造中可用于数控加工,研制周期可以大幅度缩短,使过去复杂的工作变得简单容易.

我们在比较各种方案的基础上选用双三次均匀B样条为数学模型,根据防化研究院一所提供的石膏模型为原型,进行了造型设计.本研究步骤为:选用数模→采样型值点→曲面反算与拼合→显示三维透视图.

## 1 曲面反算与拼合

B样条曲面由一组特征多边形定义,双三次均匀B样条曲面片用16个顶点的特征网格定义,其方程为

$$P(u, \omega) = UBVB^TW^T, \quad (1)$$

其中

$$U = [u^3 u^2 u \ 1], \quad W = [w^3 w^2 w \ 1],$$

本文1990-02-14收到.

$$B = \frac{1}{6} \begin{pmatrix} -1 & 3 & -3 & 1 \\ 3 & -6 & 3 & 0 \\ -3 & 0 & 3 & 0 \\ 1 & 4 & 1 & 0 \end{pmatrix}, \quad V = \begin{pmatrix} V_{11} & V_{12} & V_{13} & V_{14} \\ V_{21} & V_{22} & V_{23} & V_{24} \\ V_{31} & V_{32} & V_{33} & V_{34} \\ V_{41} & V_{42} & V_{43} & V_{44} \end{pmatrix},$$

$$0 \leq u, W \leq 1,$$

从B样条曲面公式可知，每取16个顶点便可构成一块曲面片， $m \times n$ 个顶点可构造 $(m-1)(n-1)$ 块曲面片，这些曲面片之间具有 $C^2$ 连续，但实际应用中更常见到的是给出一些离散点来插值设计，通常这些点由实验或长期经验获得，而B样条曲面只能逼近而不能插值控制网格。因此就涉及到反求问题，即根据型值点反求出特征多边形网格顶点。B样条曲面可以看做两个不同参数方向曲线的直积，所以解决曲面反求问题，首先得解决曲线反求问题。

1.1 曲反求线

设有 $m$ 个待插值点 $p_1 p_2 \dots p_m$ 由 $(m-1)$ 段B样条曲线拟合对应特征多边形点点数为 $(m+2)$ 由 $V_{i-1}, V_i, V_{i+1}, V_{i+2}$ 组成的多边形产生一条均匀三次B样条曲线

$$p_i(t) = \frac{1}{6} [t^3 t^2 t 1] \begin{pmatrix} -1 & 3 & -3 & 1 \\ 3 & -6 & 3 & 0 \\ -3 & 0 & 3 & 0 \\ 1 & 4 & 1 & 0 \end{pmatrix} \begin{pmatrix} V_{i-1} \\ V_i \\ V_{i+1} \\ V_{i+2} \end{pmatrix}$$

令 $t=0$ ，得

$$P_i = (1/6)(V_{i-1} + 4V_i + V_{i+1}) \tag{2}$$

其中 $P_i$ 为型值点， $i=1, 2, 3, \dots, m$ 。根据式(2)可以列出 $m$ 个方程，有 $(m+2)$ 个未知数， $V_j(j=0, 1, \dots, m+n)$ 要求出 $V_j$ ，须补充两个约束条件，一般是对边界增加约束条件，不同的边界条件就引出不同的反算方法和利用不同的构造效果，一般有3种方法：(a)重顶点法：利用重顶点技巧反求出同等数量的控制顶点，它的优点是可以方便地拟合具有特殊性质的曲线曲面，但考虑这些条件后方程组一般已满秩，不能加入其它条件，外边界与别的曲面块拼接时受到限制；(b)指定端点一阶导数 $\vec{P}'_1, \vec{P}'_m$ ：这种方法不够直观，导矢的方向和大小不易确定，不便应用；(c)在特征多边形的首末端加对称点：这种方法是本文讨论的重点，我们的主体算法就从这种方法推导而来。如图1所示，在特征多边形的首末端外延一对称点 $V_0, V_{m+1}$ ，此时有

$$\begin{cases} V_1 = p_1, \\ V_m = p_m, \end{cases} \tag{3}$$

$$\begin{cases} V_0 = 2V_1 - V_2, \\ V_{m+1} = 2V_m - V_{m-1}, \end{cases} \tag{4}$$

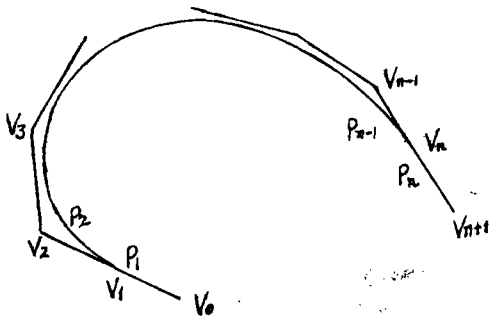


图 1 特征多边形

由式(2)，(3)得方程组



由于工程中遇到的曲面一般都很复杂, 只用一张曲面很难构造出来, 必须进行分块, 这样各曲面块就存在拼合问题. B样条曲面拼合方法很多, 如可将两张B样条曲面拼合转化为Coons曲面或Bezier曲面来处理, 但算法比较复杂在微机上实现受到限制, 采用在反算时保证拼接关系, 以控制边界条件形式来保证 $C^0$ 或 $U$ 连续.

### 1.3 保证 $C^0$ 连续曲面反求

现设有两个曲面 $S_1, S_2$ , 其型值点分别为 $S_1: P_{i,j} (i=1,2,\dots, m_1, j=1,2,\dots, n_1)$ ;  $S_2: P_{i,j} (i=1, 2,\dots, m_2, j=1,2,\dots, n_2)$ . 则两张B样条曲面的第 $(i,j)$ 块曲面片方程为 $P_{i,j}^{(1)}(u,w) = UB^{(1)}B^TW^T$ ,  $P_{i,j}^{(2)}(u,w) = UB^{(2)}B^TW^T$ . 为了讨论两张B样条曲面 $S_1, S_2$ 在相邻边 $S_1(u,1)$ 和 $S_2(u,0)$ 上拼合时满足 $C^0$ 连续, 不妨看两个曲片的情形. 其控制顶点为 $P_1: V_{i,j}^{(1)}, P_2: V_{i,j}^{(2)}, (i=1,2,3,4, j=1,2,3,4)$ . 曲面片方程为 $P_1(u,w) = UB^{(1)}B^TW^T P_2(u,w) = UB^{(2)}B^TW^T$ . 曲面片 $P_1, P_2$ 在边界函数连续的条件为 $P_1(u,1) = P_2(u,0)$ , 即

$$[u^3 u^2 u 1] BV^{(1)} B^T \begin{pmatrix} 1 \\ 1 \\ 1 \\ 1 \end{pmatrix} = [u^3 u^2 u 1] BV^{(2)} B^T \begin{pmatrix} 0 \\ 0 \\ 0 \\ 1 \end{pmatrix},$$

上式两边均为 $u$ 的三次多项式, 令 $u$ 的各次项系数相等, 则得

$$BV^{(1)} B^T \begin{pmatrix} 1 \\ 1 \\ 1 \\ 1 \end{pmatrix} = BV^{(2)} B^T \begin{pmatrix} 0 \\ 0 \\ 0 \\ 0 \end{pmatrix} \quad (10)$$

两边左乘 $B^{-1}$ 展开得

$$\begin{cases} V_{11}^{(1)} + 4V_{13}^{(1)} + V_{14}^{(1)} = V_{11}^{(2)} + 4V_{13}^{(2)} + V_{14}^{(2)} \\ V_{21}^{(1)} + 4V_{23}^{(1)} + V_{24}^{(1)} = V_{21}^{(2)} + 4V_{23}^{(2)} + V_{24}^{(2)} \\ V_{31}^{(1)} + 4V_{33}^{(1)} + V_{34}^{(1)} = V_{31}^{(2)} + 4V_{33}^{(2)} + V_{34}^{(2)} \\ V_{41}^{(1)} + 4V_{43}^{(1)} + V_{44}^{(1)} = V_{41}^{(2)} + 4V_{43}^{(2)} + V_{44}^{(2)} \end{cases}$$

推广到两张曲面 $S_1, S_2$ 时有

$$V_{i,j}^{(1)} *_{-1} + 4V_{i,j}^{(1)} + V_{i,j}^{(1)} *_{+1} = V_{i,j}^{(2)} + 4V_{i,j}^{(2)} + V_{i,j}^{(2)} *_{+2}. \quad (11)$$

其中 $*$ 为已知曲面与所求曲面拼合时最小行号.

由 $P_i = (1/6)(V_{i,-1} + 4V_i + V_{i,+1})$ , 我们在反算时可充分利用式(11), 在第一重反算时作一些替换, 第二重反算时不变. 如已知 $S_1$ 曲面, 要求 $S_2$ 与 $S_1$ 保证 $C^0$ 拼合, 则第一重反算时 $VP_{i,j}^{(2)}$ 以 $(1/6)(V_{i,j}^{(1)} *_{-1} + 4V_{i,j}^{(1)} + V_{i,j}^{(1)} *_{+1})$ 代入即可, 其它情形类似, 当在 $w$ 方向拼合时上

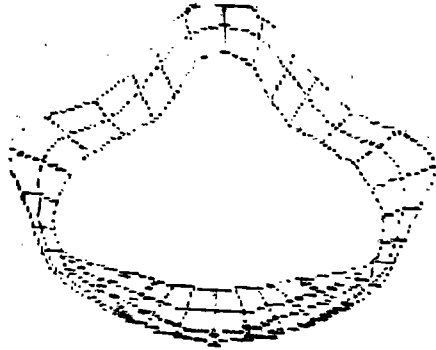
述公式均需作 $u \Leftrightarrow w$ 变换.

### 1.4 保证 $C^1$ 连续曲面反求

先从两曲面片角讨论起, 欲使 $P_1, P_2$ 在公共边界达 $C^1$ 连续, 须满足

$$\frac{\partial P_1(u,w)}{\partial u} \Big|_{w=1} \times \frac{\partial P_1(n,w)}{\partial w} \Big|_{w=1} = k \cdot \frac{\partial P_2(u,w)}{\partial u} \Big|_{w=0} \times \frac{\partial P_2(u,w)}{\partial w} \Big|_{w=0} \quad (12)$$





$$\tau = 0^\circ, \beta = 30^\circ, \gamma = 0^\circ$$

图 3 口罩密接面透视图

本文所有计算和绘图程序都采用Turbo C(1.5版)编制, 可在 IBM PC/XT类机上运行。

### 参 考 文 献

- [1] Brain, A. B. and Donald, P. G., Determining a Set of B-spline Control Vertices to Generate an Interpolating, *Computer Graphics and Image Processing*, 12 (1980).
- [2] 何 迅等, 构造B-Spline自由曲面的方法兼论B-Spline曲面与Coons曲面及Bezier曲面的关系, *工程图学*, 4 (1983).
- [3] Robert, E. B. and Richard, F. R., *Computer Aided Geometric Design*, Academic Press New York, (1974), 120.
- [4] Robert, E. B. and Wolgang, B., *Surfaces in Computer Aided Design*, North-Holland Publishing Company New York, (1983), 83.

## Application of B-Spline Curved Surface to the Modelling of Gas Mask

Lai Changfa Chen Yanlan

(Department of precision Mechanical Engineering)

**Abstract** For applying B-spline curved surface to the modelling of gas mask, this paper chooses the uniform bicubic B-spline curved surface as mathematical model and centres on the inverse computation of B-spline control vertices and the joggle of curved surfaces. The surfaces of mouth mask and airtight frame are differentiated suitably based on the characteristic of the inverse computational method so derived. Quantifying model of gas mask is formed by sampling the network points. A fairly satisfactory result ensues, as shown by its three-dimensional perspective view on CRT.

**Key Words** Computer aided design, gas mask, B-spline surface, modelling design